

## ТРАНСФОРМАЦИЯ КРИСТАЛЛИЧЕСКОЙ СТРУКТУРЫ $Cd_xHg_{1-x}Te$ ПРИ ИОННОЙ ИМПЛАНТАЦИИ

М. И. Ибрагимова, И. А. Файзрахманов,  
И. Б. Хайбуллин, Н. А. Саинов

Казанский физико-технический институт Академии наук Татарстана, 420029, Казань,  
Татарстан

(Получена 30 ноября 1992 г. Принята к печати 3 декабря 1992 г.)

Изучена трансформация кристаллической структуры  $Cd_xHg_{1-x}Te$  при имплантации ионов с массой  $11 \leq M_i \leq 131$  а. е. м. и энергий  $E < 100$  кэВ в широком интервале доз  $10^{14} \leq \Phi \leq 3 \cdot 10^{15}$  см $^{-2}$ . Обнаружено, что при бомбардировке ионами с массой  $M_i \geq 70$  а. е. м. и энергией  $E < 100$  кэВ после достижения определенной дозы  $\Phi_a$  происходит аморфизация приповерхностного слоя  $Cd_xHg_{1-x}Te$ . Показано, что все имеющиеся данные по зависимости структурно-фазовых изменений  $Cd_xHg_{1-x}Te$  от режимов облучения могут быть объяснены на основе модели тепловых пиков. Установлено, что появление рефлексов от монокристалла при достижении некоторой критической дозы  $\Phi_c > \Phi_a$  связано не с рекристаллизацией аморфного слоя в процессе имплантации, а с изменением условий дифракции быстрых электронов вследствие образования сильно развитого микрорельефа поверхности.

**Введение.** В настоящее время накоплен значительный экспериментальный материал и достигнуто определенное понимание процессов аморфизации, происходящих при ионной имплантации (ИИ) традиционных полупроводников. В случае полупроводниковых соединений закономерности аморфизации сложным образом зависят от условий имплантации и в некоторых случаях не могут быть объяснены в рамках существующих моделей. В частности, проведенные в ряде отечественных и зарубежных работ [1–11] исследования трансформации кристаллической структуры  $Cd_xHg_{1-x}Te$  при ИИ дают противоречивые результаты. Согласно работам [1–9], облучение кристаллов  $Cd_xHg_{1-x}Te$  при комнатной температуре с энергиями  $E > 100$  кэВ в исследованных интервалах доз не приводят к аморфизации приповерхностных слоев вследствие (по мнению авторов [6]) динамического отжига в процессе ИИ как точечных, так и протяженных (например, дислокационных петель) дефектов, находящихся за областью ИИ. Вместе с тем в работе [8] сообщается, что при имплантации  $Cd_xHg_{1-x}Te$  ионами бора с дозой  $\Phi = 10^{15}$  см $^{-2}$  при температуре жидкого азота получена полная аморфизация ион-легированного слоя. Однако все последующие попытки воспроизвести этот результат не увенчались успехом [1–3, 10, 11]. Кроме того, даже облучение ионами  $In^+$  кристаллов  $Cd_xHg_{1-x}Te$  с дозой  $\Phi = 3 \cdot 10^{14}$  см $^{-2}$  при 77 K [6] не привело к аморфизации приповерхностных слоев, хотя сопровождалось высокой концентрацией радиационных дефектов.

Наличие столь противоречивых данных стимулировало проведение настоящей работы, цель которой – изучение трансформации структуры  $Cd_xHg_{1-x}Te$  при имплантации ионов с массой  $11 \leq M_i \leq 131$  а. е. м. в малоизученной области энергий ионов  $E < 100$  кэВ.

В качестве исходного материала использовались пластины монокристаллического  $\text{Cd}_x\text{Hg}_{1-x}\text{Te}$  *n*- и *p*-типов проводимости, выращенного различными методами (Бриджмена, зонной плавки через теллур, методом постоянной подпитки расплава) с молярным содержанием теллурида кадмия  $x$  от 0.18 до 0.35. После механической обработки абразивным порошком образцы подвергались химическому травлению до зеркального состояния в растворе брома в спирте с последующей тщательной промывкой в дистиллированной воде. Ионная имплантация производилась при 77 и 300 К одно- и двухзарядными ионами с массой  $M_i = 11-131$  а. е. м., с энергиями 30—40 и 80 кэВ, с интегральными дозами 1.2 ·  $10^{14} < \Phi < 3.2 \cdot 10^{17} \text{ см}^{-2}$  и с плотностью ионного тока  $j$  от 0.4 до 15 мА/см<sup>2</sup>.

Структурные исследования проводились на серийном электронографе ЭМР-100 методом дифракции быстрых электронов за отражение. Электронограммы снимались при ускоряющих напряжениях электронов 50 и 75 кэВ и токе электронного пучка ~20 мА. Увеличение тока пучка сильно влияет на структуру  $\text{Cd}_x\text{Hg}_{1-x}\text{Te}$  вплоть до испарения приповерхностных слоев.

### Экспериментальные результаты

В результате электронографических исследований ионно-имплантированных приповерхностных слоев  $\text{Cd}_x\text{Hg}_{1-x}\text{Te}$  при энергиях облучения  $E < 100$  кэВ установлена зависимость разупорядочения кристаллической структуры от массы внедряемого иона. При этом все имплантируемые ионы в соответствии с их массами можно разделить на две группы: к первой относятся легкие ионы и ионы средних масс, ко второй — тяжелые ионы с  $M_i > 70$  а. е. м.

При облучении  $\text{Cd}_x\text{Hg}_{1-x}\text{Te}$  при температурах образца  $T_s = 77, 300$  К ионами с массой  $M_i < 70$  а. е. м. не обнаружено существование фазового перехода в аморфное состояние вплоть до доз имплантации  $\Phi = 10^{17} \text{ см}^{-2}$ .

Исследования приповерхностных слоев  $\text{Cd}_x\text{Hg}_{1-x}\text{Te}$  при бомбардировке ионами с массой  $M_i > 70$  а. е. м. и энергией  $E < 40$  кэВ показали, что по мере набора дозы облучения ( $T_s = 300, 77$  К) возрастает степень разупорядочения кристаллической структуры и при дозе  $\Phi = \Phi_a$  происходит переход в аморфное состояние ( $\Phi_a$  — доза аморфизации). Это подтверждают приведенные на рис. 1, *a*—*c* электронограммы: при увеличении дозы (см. рис. 1, *a*, *b*) сначала происходят изменения как формы, так и расположения точечных рефлексов, свидетельствующие об образовании мозаичной структуры (под мозаичной структурой понимается блочная структура с разориентацией 2—3°), затем пропадают признаки кристалличности и появляется сплошное диффузное пятно, характерное для аморфного вещества (рис. 1, *c*). Идентификация точечных рефлексов на электронограммах, подобных приведенным на рис. 1, *b*, производилась с использованием табличных данных [12]. Результаты многочисленных экспериментов по определению дозы аморфизации  $\Phi_a$  в зависимости от массы внедряемого иона приведены на рис. 2. Как и следовало ожидать, наблюдается закономерное уменьшение величины дозы аморфизации с увеличением массы бомбардирующего иона от  $3.2 \cdot 10^{14} \text{ см}^{-2}$  (точность 10—15%) для ионов Хе до  $2.2 \cdot 10^{16} \text{ см}^{-2}$  с той же точностью для ионов Га. Указанный разброс в величинах  $\Phi_a$  связан, по всей видимости, с большим разнообразием образцов (различные методы выращивания, состав, кристаллическая ориентация).

Облучение  $\text{Cd}_x\text{Hg}_{1-x}\text{Te}$  ионами  $\text{Ag}^+$  при комнатной температуре с энергией  $E = 80$  кэВ также привело к аморфизации приповерхностных слоев, однако доза аморфизации  $\Phi_a$  значительно уменьшилась.

При исследовании микроструктуры облучаемого слоя  $\text{Cd}_x\text{Hg}_{1-x}\text{Te}$  при дозах имплантации, превышающих  $\Phi_a$ , установлено появление моноцирсталической структуры после достижения некоторой критической дозы

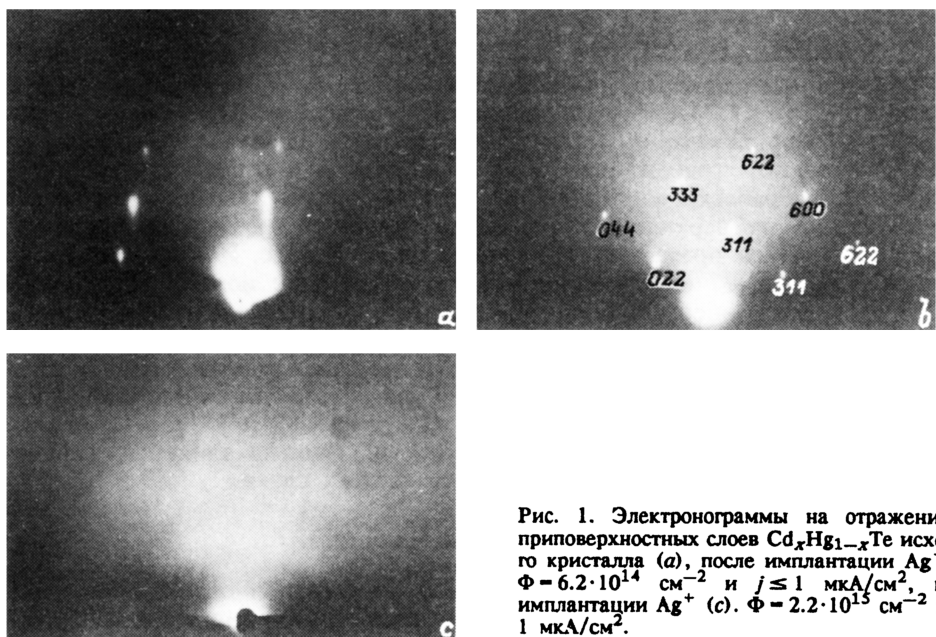


Рис. 1. Электронограммы на отражение от приповерхностных слоев  $\text{Cd}_x\text{Hg}_{1-x}\text{Te}$  исходного кристалла (a), после имплантации  $\text{Ag}^+$  (b),  $\Phi = 6.2 \cdot 10^{14} \text{ см}^{-2}$  и  $j \leq 1 \text{ мкА/см}^2$ , после имплантации  $\text{Ag}^+$  (c).  $\Phi = 2.2 \cdot 10^{15} \text{ см}^{-2}$  и  $j \leq 1 \text{ мкА/см}^2$ .

$\Phi_c$ . Обнаружено, что величина  $\Phi_c$  зависит от природы внедряемого иона. На рис. 3, a-d представлены электронограммы, полученные при одинаковых и тех же условиях облучения  $\text{Cd}_x\text{Hg}_{1-x}\text{Te}$  ( $\Phi = 3.2 \cdot 10^{16} \text{ см}^{-2}$ ,  $j \sim 5.0 \text{ мкА/см}^2$ ) различными ионами:  $\text{Ag}^+$ ,  $\text{Xe}^+$ ,  $\text{Ga}^+$ ,  $\text{In}^+$ . Идентификация точечных рефлексов на электронограммах (рис. 3, a-c) показала наличие лишь монокристаллической фазы  $\text{Cd}_x\text{Hg}_{1-x}\text{Te}$ . Как видно из рис. 3, a-c электронограммы получены от поверхностей, ориентированных различным образом к направлению электронного пучка. Имплантация  $\text{In}^+$  (рис. 3, d) не приводит к возникновению монокристаллической структуры, так как для данного иона при указанных условиях  $\Phi < \Phi_c$  ( $\text{In}$ ).

### Обсуждение результатов и выводы

Проведенные в данной работе экспериментальные исследования, а также результаты других авторов показали, что для  $\text{Cd}_x\text{Hg}_{1-x}\text{Te}$  в широком интервале режимов имплантации неэффективны обычные механизмы аморфизаций через накопление точечных дефектов и перекрытие частично разупорядоченных областей (см., например, [13-15]). Это вероятно, связано с высокой подвижностью точечных дефектов в  $\text{Cd}_x\text{Hg}_{1-x}\text{Te}$ , что ведет к динамическому отжигу радиационных дефектов в процессе имплантации. Действительно, по име-

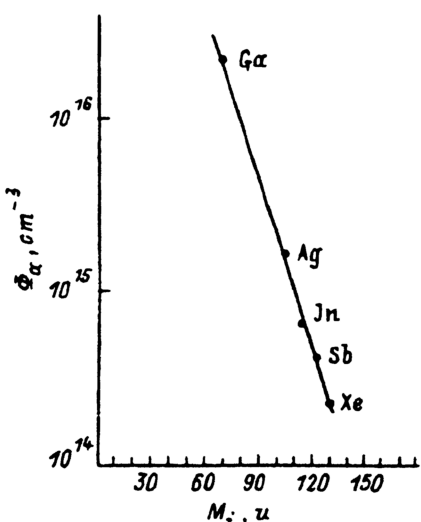


Рис. 2. Зависимость дозы аморфизации  $\Phi_a$   $\text{Cd}_x\text{Hg}_{1-x}\text{Te}$  от массы внедряемого иона  $M_i$  при  $E < 50 \text{ кэВ}$ ,  $j < 1 \text{ мкА/см}^2$ ,  $T_s \approx 300 \text{ K}$ .

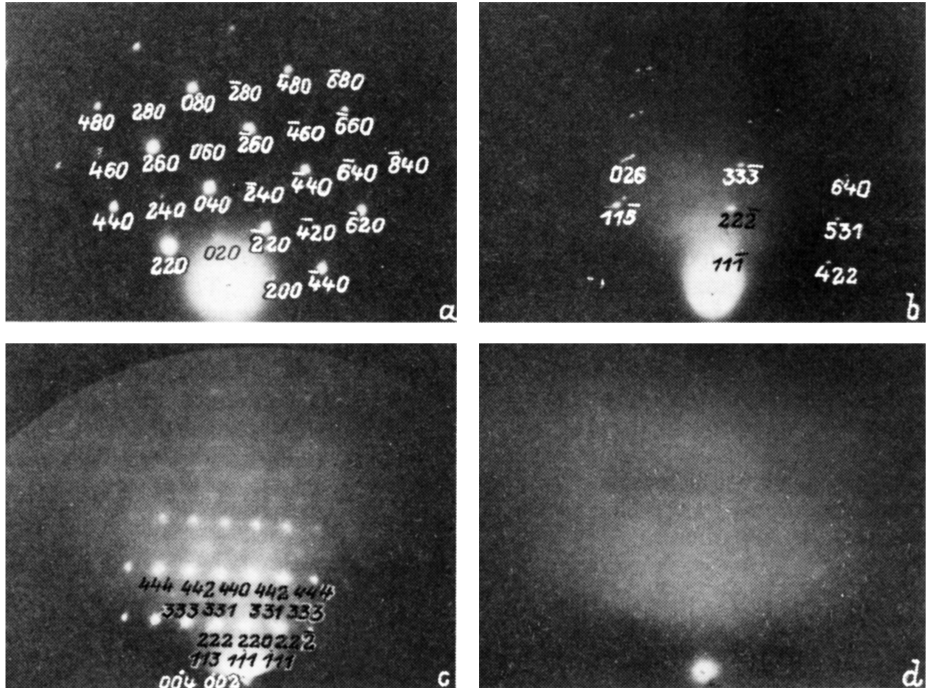


Рис. 3. Электронограммы на отражение от слоев  $\text{Cd}_x\text{Hg}_{1-x}\text{Te}$ , полученных после имплантации ионов: *a* —  $\text{Ag}^+$ , *b* —  $\text{Xe}^+$ , *c* —  $\text{Ga}^+$ , *d* —  $\text{In}^+$ .  $\Phi = 3.2 \cdot 10^{16} \text{ см}^{-2}$ ,  $E = 30—40 \text{ кэВ}$ ,  $j = 5.0 \text{ мкА/см}^2$ .

ющимся в литературе данным [16], в  $\text{Cd}_x\text{Hg}_{1-x}\text{Te}$  энергия активации самодиффузии вакансий ртути составляет 1.4 эВ, а междуузлий 0.3—0.5 эВ, что в несколько раз ниже аналогичных параметров для Si, в котором эти механизмы аморфизаций наиболее ярко проявляются.

В то же время результаты, полученные в данной работе, свидетельствуют о наличии режимов имплантации, при которых тем не менее имеет место переход имплантированных слоев  $\text{Cd}_x\text{Hg}_{1-x}\text{Te}$  в аморфное состояние. Эти режимы характеризуются большой массой имплантируемых ионов  $M_i > 70$  а. е. м. и относительно низкими энергиями облучения  $E < 100$  кэВ. Учитывая, что средняя масса атомов  $\text{Cd}_x\text{Hg}_{1-x}\text{Te}$  составляет  $M_m \approx 150$  а. е. м., можно сделать вывод о том, что при этих режимах облучения величина ядерной тормозной способности велика, что приводит к высоким значениям средней плотности энергии  $\Theta$ , выделяемой в объеме радиационного каскада. Это видно из таблицы, в которой

Средние плотности энергии  $\Theta$  и времена  $t_q$  при различных энергиях и массах бомбардирующих ионов в  $\text{Cd}_x\text{Hg}_{1-x}\text{Te}$  ( $x = 0.2—0.3$ )

Ион	Энергия иона $E$ , кэВ	Масса иона а. е. м.	$\Theta$ , эВ/ат	$t_q$ , с	Наличие аморфизации	Литература
$\text{B}^+$	40	11	0.0022	$10^{-7}$	Нет	Данные работы
$\text{P}^+$	40	31	0.045	$4.3 \cdot 10^{-10}$	"	"
$\text{Ar}^+$	40	40	0.15	$1.4 \cdot 10^{-11}$	"	[4, 5]
$\text{Ar}^+$	150	40	0.01	$6.8 \cdot 10^{-9}$	"	[4, 5, 13]
$\text{Ga}^+$	40	70	0.8	$2.4 \cdot 10^{-11}$	Да	Данные работы
$\text{In}^+$	30	115	2.4	$5.4 \cdot 10^{-12}$	"	"
$\text{In}^+$	300	115	0.1	$3.3 \cdot 10^{-10}$	Нет	[6, 9, 13]
$\text{Xe}^+$	30	131	3.0	$4.2 \cdot 10^{-12}$	Да	Данные работы
$\text{Hg}^+$	300	200	0.36	$2.5 \cdot 10^{-10}$	Нет	[13, 14]

приведены значения  $\Theta$  и времена затухания выделенной энергии  $t_q$ , рассчитанные на основе работы Зигмунда [17] для использованных нами режимов облучения. Для сравнения в таблице представлены значения  $\Theta$  и  $t_q$  для режимов имплантации, исследованных другими авторами, при которых не наблюдается аморфизация  $Cd_xHg_{1-x}Te$ . Сопоставление полученных значений  $\Theta$  с теплотой плавления  $Cd_xHg_{1-x}Te$ , которая по оценочным расчетам составляет  $\Theta_m \sim 0.5$  эВ/ат, показывает, что, как правило, аморфизация наблюдается для режимов имплантации, при которых  $\Theta \geq \Theta_m$  и  $t_q \leq 10^{-11}$  с, что соответствует условиям возникновения тепловых пиков [18].

Таким образом, проведенный анализ имеющихся экспериментальных данных дает основание предложить механизм аморфизации  $Cd_xHg_{1-x}Te$  через образование тепловых пиков. Вследствие малых времен затухания тепловых пиков возбужденная область не успевает релаксировать и на месте теплового пика образуется полностью разупорядоченная область. По мере набора дозы эти зоны перекрываются и при дозах имплантации  $\Phi \approx \Phi_c$  образуется сплошной аморфный слой. Доза аморфизации определяется размерами разупорядоченных областей, которые зависят от энергии и массы бомбардирующих ионов. Поэтому имеющаяся зависимость дозы аморфизации от массы ионов, а также данные экспериментов по определению дозы аморфизации при  $E = 80$  кэВ хорошо объясняются в рамках предложенного механизма.

Изменение картины электронной дифракции от аморфного материала к монокристаллическому при дозах имплантации  $\Phi > \Phi_c$  связано не с рекристаллизацией аморфной фазы в процессе ИИ, а с образованием весьма развитого микрорельефа. При этом высота выступов значительно превышает толщину аморфного слоя, в результате чего основной вклад в дифракционную картину от такой поверхности дает нижележащий монокристалл. Возникновение столь развитого микрорельефа при больших дозах облучения сложным образом зависит от процессов радиационного вакансационного расщепления и распыления, что подробно рассмотрено в нашей предыдущей статье [19].

Таким образом, в настоящей работе установлено, что при использовании ионов с массой  $M_i > 10$  а. е. м. и энергиями  $E < 100$  кэВ после достижения определенной дозы  $\Phi_c$  обнаружен факт перехода приповерхностных слоев  $Cd_xHg_{1-x}Te$  в аморфное состояние. На основе модели тепловых пиков объяснена зависимость структурно-фазовых изменений  $Cd_xHg_{1-x}Te$  от режимов облучения, наблюдавшихся в данной работе, а также работах других авторов.

## СПИСОК ЛИТЕРАТУРЫ

- [1] J. Baars, A. Hurle, W. Rothmund, C. R. Fritzche, T. Jakobus. *J. Appl. Phys.*, **53**, 1461 (1982).
- [2] G. L. Destefanis, R. Boch, R. Ronssille. *Cryst. Growth*, **59**, 270 (1982).
- [3] G. L. Destefanis. *Nucl. Instrum. Meth.*, **209/210**, 567 (1983).
- [4] А. С. Петров, В. С. Куликаускас, Ю. В. Лиленко, А. П. Коханенко, А. В. Войцеховский, Е. М. Кирюшкин, К. В. Шастов, К. Р. Курбанов, А. П. Мамонтов, В. А. Коротченко. *Изв. вузов СССР, Физика*, № 12, 83 (1988).
- [5] Ю. В. Лиленко, В. С. Куликаускас, К. В. Шастов, Е. М. Кирюшкин. *Поверхность. Физика, химия, механика*, № 7, 142 (1988).
- [6] L. K. Magel, T. W. Sigmon. *J. Cryst. Growth*, **86**, 756 (1988).
- [7] Ю. В. Каваляускас, Г. С. Эйджюокас, М. В. Седнев, А. В. Шилейка. *Поверхность. Физика, химия, механика*, № 10, 127 (1985).
- [8] S. Y. Wu, W. J. Choyke, W. J. Takei, A. J. Noreika, M. H. Francombe. *J. Vac. Sci. Techn.*, **21**, 255 (1982).
- [9] C. Uzan, Y. Marfaing, R. Legros, R. Kalish, V. Richter. *J. Cryst. Growth*, **86**, 744 (1988).
- [10] K. C. Dimiduk, W. G. Opyd, J. F. Gibbons, T. W. Sigmon, T. I. Magee, R. D. Ormond. *J. Vac. Sci. Techn.*, **A**, **1**, 1661 (1983).
- [11] K. L. Conway, W. G. Opyd, M. E. Greiner, J. F. Gibbons, T. W. Sigmon, L. O. Bubulac. *Appl. Phys. Lett.*, **41**, 750 (1982).
- [12] Л. И. Миркин. *Справочник по рентгеноструктурному анализу поликристаллов*. М. (1961).
- [13] G. Bahir, R. Kalish. *J. Appl. Phys.*, **54**, 3129 (1983).

- [14] G. Bahir, T. Bernstein, R. Kalish. Rad. Eff., 48, 247 (1980).
- [15] Физические процессы в облученных полупроводниках (под ред. Л. С. Смирнова). Новосибирск (1977).
- [16] А. В. Горшков, Ф. А. Зайтов, Г. М. Шаляпина, С. Б. Шангин. В кн.: Легированные полупроводниковые материалы, 92. М. (1985).
- [17] P. Sigmund. Appl. Phys. Lett., 25, 161 (1974).
- [18] D. A. Thompson. Rad. Eff., 56, 105 (1981).
- [19] М. И. Ибрагимова, В. Ю. Петухов, И. Б. Хайбуллин. ФТП, 27, 560 (1993).

Редактор Т. А. Полянская

---